

京都大学防災研究所 正員 石原安雄
同上 正員 ○ 下島栄一

§1. まえがき 従来より, soil physics 等の分野では空気閉塞を伴わない不飽和浸透現象を Darcy 則を analogy 的に拡張した nonlinear Fokker-Planck type の拡散理論により記述し, 一応の成功を得ている。一方, 空気閉塞を伴う場合の研究は多少行われてきただが, 現象の複雑さゆえ定性的な現象記述に停り, 理論体系は今だ存在しない。本文では, 実験的手法と媒介として円筒下端を開放した場合及び円筒下端を閉塞した場合と比較して鉛直不飽和浸透における空隙空気の影響を考察したものである。

§2. 実験方法

2-1. 実験装置 実験に使用した円筒は, 透明なアクリル樹脂製で, 直径 18.5 cm, 長さ 25 cm, 10 cm を数個用意し, フランジをつけて接合し円筒長を変えることが出来ます。円筒に充填した土壤の水分量, 円筒周囲に設置した電極板間の誘電率の変化を市販の静電容量変換方式の微小変位計を用いて測定した。水の供給方法としては円筒上面に一定強度の給水を行ったが, 円筒の上端より越流する水量を圧力変換器を取付けた丸柱を用いて, 測定し間接的に浸透強度を求める方法を行った。さらに, 閉塞の場合には円筒下部に圧力変換器を設置し, 空隙空気圧の変化を測定した。

2-2. 使用土壤 本研究では 2 種類 (K-5, K-7) の砂を用いたが粒度分布は, K-5 の場合, $d_{10}=0.15$, $d_{50}=0.40$, $d_{90}=0.53$, K-7 の場合, $d_{10}=0.07$, $d_{50}=0.11$, $d_{90}=0.12$ (単位 mm) である。

2-3. 実験方法 実験時は自然乾燥状態のものを用い, このときの土壤水分量を初期条件とした。充填砂の締固め状態 (みかけの密度) は K-5 の場合, $1.44 \sim 1.45 g/cm^3$, K-7 の場合, $1.39 \sim 1.41 g/cm^3$ である。浸透面における境界条件は 1 cm の湛水深として与えた。なお, 空気閉塞を生じさせる場合は, 円筒下端を密閉した。

§3. 長時間経過後の浸透現象

3-1. 実験結果 図-1.2 は砂層厚 129 cm の実験結果を mass wetness を parameter として位置～時間の関係を示した例であり, また図-3, 4 は, 空気閉塞の場合の wetting front の進行状況を示したものである。浸透実験の後半の時間に注目すれば,

① 空気閉塞の有無に関係なく, wetting front は一定形状に, またその相速度は一定値に漸近する。

② 開放の場合(=では図示していないが), 閉塞の場合に關係なく一定形状の wetting front は最も最大の含水量を有し, その値は前者の方が大きい。なお, 前者の値はほぼ飽和含水量に相当する。

図-3 は K-7, $L=129$ cm の開放の場合の累積浸透量及び円筒下部 (wetting front 前方) の空隙空気圧の時間変化を示したものであり, 同時に開放の場合も示している。この図より次のことが判る。

図-4 は, K-7, $L=129$ cm の閉塞の場合の累積浸透量及び円筒下部 (wetting front 前方) の空隙空気圧の時間変化を示したものであり, 同時に開放の場合も示している。この図より次のことが判る。

③ wetting front の相速度がほぼ一定値となる時と同じくして, 累積

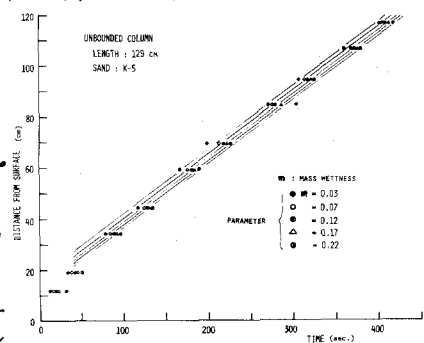


図-1(a). mass wetness の進行状況, $x(t; m)$

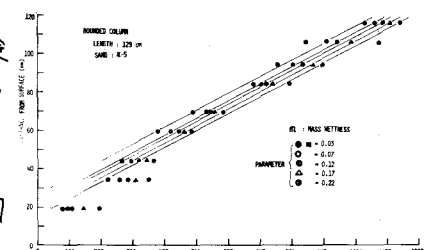


図-1(b). mass wetness の進行状況, $x(t; m)$

浸透量が平均的意味で直線、すなわち浸透強度が一定になら。 (なお、K-5 の場合も同様の結果を得た。)

しかし、閉塞実験の場合、小さな時間スケールで調べると、空気の圧縮・開放に基因する変動が生じてあり、その変動中は K-5 に比べ K-7 の方が、すなわち粒径の小さな方が大きくなる判別。

⑩ 室内空気圧の変化を巨視的にみると、時間的に増加するが、増加の割合は実験開始直後が著しく、その後は次第に緩慢となり無制限に大きな値に収まらない。(K-5 の場合も同様) また、粒径の小さな場合(K-7)の方が全体的に大きな空気圧を示す。

3-2. 結果の考察

土壤水の運動を支配する方程式は、

$$\text{連続式} : \frac{\partial \theta}{\partial t} + \frac{\partial V}{\partial x} = 0 \quad \dots \text{①}$$

$$\text{拡張された Darcy 则} : V = -K(\theta) \frac{\partial \Phi}{\partial x} \quad \dots \text{②}$$

$\therefore \dots$, x : 下向き正符号, θ : volumetric moisture content, V : filter velocity, $K(\theta)$: hydraulic conductivity, Φ : total potential head ($= \psi + p_a + \phi$), ψ : capillary potential head, ϕ : gravity potential head, であり、また、一元室内空気圧が V に対する potential であると仮定して, p_a : air potential head とおく。

式①②より

$$\frac{\partial \theta}{\partial t} = \frac{\partial}{\partial x} \left(D \frac{\partial \theta}{\partial x} \right) + \frac{\partial}{\partial x} \left\{ K \left(-1 + \frac{\partial \phi}{\partial x} \right) \right\} \quad \dots \text{③}$$

$\therefore \dots$, $D(\theta) = K(\theta) \cdot \frac{d\psi}{d\theta}$: moisture diffusivity

§3-1 ⑦ の結果より θ は一定の相速度 ω をもつ座標系によりれば定、E 分布形をもつが、§3-1 ⑩ より p_a は時間とともに変化する。 $\psi = \psi(t)$,

$$\zeta = x - \omega(t-t_0), \quad \tau = t-t_0 \quad \dots \text{④}$$

$\therefore \dots$, 2 座標変換を行うと、式③は次のようである。 ここで、 t_0 は一定の相速度となる時刻とすると、 θ は ζ のみ、 p_a は ζ との関数と考えられる。

$$-\omega \frac{d\theta}{d\zeta} = \frac{d}{d\zeta} \left(D \frac{d\theta}{d\zeta} \right) - \frac{dK}{d\theta} \frac{d\theta}{d\zeta} + \frac{\partial}{\partial \zeta} \left(K \frac{\partial p_a}{\partial \zeta} \right) \quad \dots \text{⑤}$$

$$\text{境界条件} : \zeta = \infty \quad \frac{d\theta}{d\zeta} = 0, \quad \text{又} \quad \theta = \theta_0, \quad \frac{\partial \theta}{\partial \zeta} = 0 \quad \dots \text{⑥}$$

ところで、 τ を固定して式⑤を $\zeta = \zeta_0$ や $\zeta = \infty$ まで積分すると、

$$\omega(\theta - \theta_0) = -D \frac{d\theta}{d\zeta} + \{ K(\theta) - K(\theta_0) \} - K \frac{\partial p_a}{\partial \zeta} \quad \dots \text{⑦}$$

§3-1 ⑩ の結果から、 $\zeta = \zeta_0$ で $\theta = \theta_0$ とすると、 $(d\theta/d\zeta)|_{\zeta=\zeta_0} = 0$ を考えてよいかから、式⑦より、

$$\omega = \frac{K(\theta_0) - K(\theta_0)}{\theta_0 - \theta_0} - \frac{K(\theta_0) \cdot \frac{\partial p_a}{\partial \zeta}|_{\zeta=\zeta_0}}{\theta_0 - \theta_0} \quad \dots \text{⑧}$$

ω が一定値に保たれるので、 $K(\theta) \cdot \frac{\partial p_a}{\partial \zeta}|_{\zeta=\zeta_0} = \text{const.}$ という結果となるが、 $K(\theta) \sim \theta$ との関係から式⑧の第1項を計算すると、例えば、K-5, L=129cm で $\omega = 0.082 \text{ cm/sec.}$, K-7, L=129cm で $\omega = 0.0093 \text{ cm/sec.}$ とな

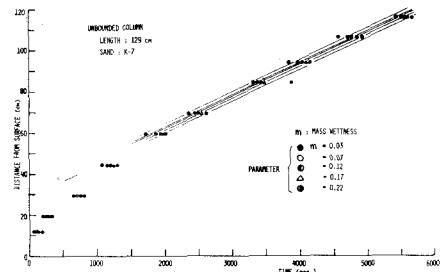


図-2(a). mass wetness の進行状況, $x(t; m)$

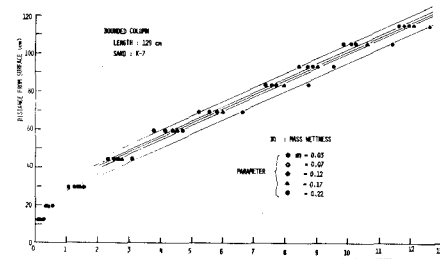


図-2(b). mass wetness の進行状況, $x(t; m)$

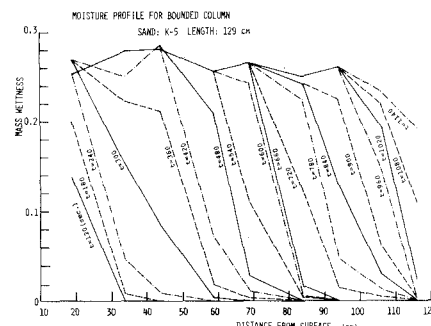


図-3. wetting front の進行状況, $m(x; t)$

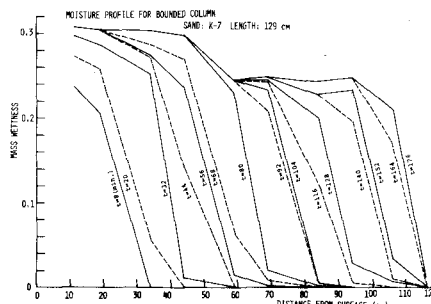


図-4. wetting front の進行状況, $m(x; t)$

り、それそれに対応した ω の実測値は、 0.088 cm/sec. , 0.0080 cm/sec. で式⑧中の右辺第2項はほぼ零と考えてよい。

一方、すべてのうねつ $\partial P_a / \partial z$ が常に零であると仮定して、式⑦⑧より、移動座標系からみた wetting front の θ の分布形状は、

$$\int_{\theta_0}^{\theta} d\theta = \int_{\theta_0}^{\theta} \frac{D(\theta) / (\theta_s - \theta_0)}{[(\theta_s - \theta_0) \{K(\theta) - K(\theta_0)\} - (\theta - \theta_0) \{K(\theta_s) - K(\theta_0)\}]} d\theta \quad \dots \text{⑨}$$

$$= \dots, \quad \theta_s = \theta_s - \Delta\theta, \quad \Delta\theta \ll 1$$

図-6は、K-7の場合の図-2の $x \sim t$ 関係より求めた最終の wetting front の形状と式⑨よりの計算値との比較を示したものである。式⑨中の計算で、 $K(\theta)$ は sorption 過程の θ へ t 関係と $D(\theta)$ より間接的に求めたものを用いた。図よりすれば、実験値と計算値とのほぼ一致をみていいことが判る。一方、最終の定常浸透強度 f_{∞} と wetting front の相速度 w との関係は、開放、閉塞の場合

$$f_{\infty} = \omega \cdot (\theta_s - \theta_0), \quad f_{\infty} = \omega (\theta_s - \theta_0) \quad \dots \text{⑩}$$

となるが、K-7の場合を含めて、ほぼ満足されることが判る。

以上の考察に基づけば、水行移動に付けて、式⑦⑧中の空隙空気の空間偏微分は近似的に

$$\partial P_a / \partial z = 0. \quad \dots \text{⑪}$$

と仮定して妥当性が立証されたことになる。すなはち、閉塞、開放に關係なく wetting front に沿う空隙空気圧は空間的に一様であり、半に時間の関数 $P_a = P_a(t)$ と考えてよく、閉塞の場合、円筒下部で計測した空気圧が ω に付随するわけである。結果、下端を閉塞した場合の鉛直浸透における空隙空気の役割は ω の値に集約され、境界値問題は変換されることになる。なお、wetting front の形状は一般に $d^2 K(\theta) / d\theta^2 > 0$ は特性を示すから、式⑪より開放の場合の θ が閉塞の場合に比べ急激に変化することが判る。

次に、閉塞の場合の wetting front より上方の領域については、推定の域を出ないが、33-1. ⑩⑪の事実に基づけば、内部空気圧、水圧及びメニスカスとの力学平衡關係のもとに、内部空気は圧縮、開放の操作によると思われる。

4. 結び

本丈は、研究の一歩として Darcy スケールの時空間平均的スケールで現象把握を試みているので、その考察は付けて閉塞の場合に生起する空隙空気の圧縮、開放のメカニズムが導入されていない。すなはち、もう少し厳密に現象を見るなら、例えば Young & Peck¹⁾ が議論した圧縮、開放に伴う hysteresis の問題も当然考慮されねばならぬ問題であるが、ここではこれらをも平均的に扱っておこうという点である。

さて、閉塞の場合の空隙空気は、圧縮に伴って上方の浸透面を通して間断的に大気中に放出される。さらに、上述の ω の値は今回の実験範囲ではほぼ一定となる。これら両者の關係、すなはち空気放出のメカニズムと ω の關係について、今後研究して行くつもりである。

参考文献

- 1) E.G. Youngs & A.T. Peck : moisture profile development and air-compression during water uptake by bounded porous bodies: 1. theoretical introduction, Soil Science, vol 98, 1965

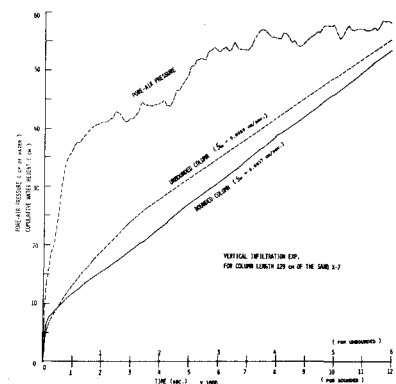


図-5. 累積浸透量及び空気圧の時間変化

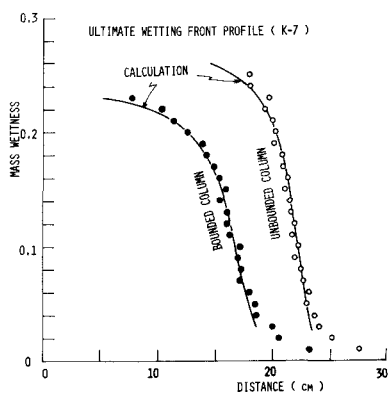


図-6. 最終の wetting front 形状